

Гибридная модель термодесорбции водорода из конструкционных материалов

© Ю.В. Заика, Е.К. Костикова

¹ Федеральный исследовательский центр „Карельский научный центр РАН“,
185000 Петрозаводск, Россия
e-mail: zaika@krc.karelia.ru, kostikova@krc.karelia.ru

Поступило в Редакцию 3 мая 2024 г.

В окончательной редакции 25 мая 2024 г.

Принято к публикации 30 октября 2024 г.

Одним из эффективных методов исследования взаимодействия конструкционных материалов с изотопами водорода является термодесорбционная спектроскопия (ТДС). Образец (рассматриваем тонкую пластину из материала с металлическими свойствами), предварительно насыщенный растворенным водородом, медленно нагревается в вакуумной камере. С помощью масс-спектрометра регистрируется поток дегазации. Анализ подлжит ТДС спектр — зависимость плотности десорбционного потока от текущей температуры. Представлена новая гибридная модель термодесорбции, оперирующая как усредненными по объему концентрациями, так и поверхностной концентрацией, динамика которой определяется нелинейными динамическими граничными условиями.

Ключевые слова: термодесорбция водорода, численное моделирование.

DOI: 10.61011/JTF.2024.12.59233.390-24

Введение

Во многих прикладных задачах достаточно оперировать усредненными по объему концентрациями водорода. Это достаточно адекватно для „пористых“, порошкообразных материалов, когда геометрические характеристики образца несущественны. Для конструкционных материалов с металлическими свойствами характерно существенное влияние поверхностных процессов адсорбции, десорбции, растворения и атомарной диффузии в объеме. Это приводит к необходимости рассматривать более детализированные модели, в частности, для описания динамики поверхностных концентраций. Уточненная модель позволяет после параметрической идентификации по экспериментальным данным прогнозировать поведение материала в водородосодержащей среде (особенно это касается дейтерия и трития), в том числе и в экстремальных условиях эксплуатации материала.

Цель настоящей работы — представить гибридную модель термодесорбции, сочетающую в себе модель в терминах усредненной по объему концентрации с более детализированной моделью в форме уравнения диффузии с нелинейными динамическими граничными условиями, отражающими процессы на поверхности. В итоге приходим к системе обыкновенных дифференциальных уравнений (системе ОДУ относительно невысокого порядка). Такая модель не требует разработки специализированного программного обеспечения. Можно в любом математическом пакете (авторы пользовались *Scilab*) без существенных затрат машинного времени численно моделировать различные ситуации и условия эксплуатации материала.

В соответствии с целью и номинацией „расширенные тезисы“ по ходу сжатого изложения в стандартных обозначениях приводятся лишь самые необходимые ссылки.

1. Лимитирование диффузией

Обозначим ℓ — толщина пластины, коэффициент диффузии $D = D(T(t)) \equiv D[t]$, т.е. нагрев медленный и равномерный (T не зависит от x). Обычно используют линейный нагрев: $T(t) = T_0 + \beta t$. По достижении T_{\max} нагрев прекращается.

Для усредненной по объему концентрации $X(t) \approx \frac{1}{\ell} \int_0^\ell c(t, x) dx (= \bar{c}(t))$ часто используют линейную модель (подробнее см. [1]): $\dot{X}(t) = -K(T)X(t)$, $X(0) = c_0$, $K(T) = \pi^2 \ell^{-2} D(T)$, $T = T(t)(T_0 + \beta t)$. Величина $X(t)$ имеет смысл усредненной по объему концентрации растворенного водорода, оставшейся в образце при $t > 0$. Модель работоспособна, когда температура достаточно высокая и нас интересует интегральный поток дегазации. При этом кинетический коэффициент $K(T)$ пропорционален $D(T)$.

Замечание 1

Можно дополнительно нормировать на начальную концентрацию: $\tilde{X} = \frac{X}{c_0}$, $\tilde{X}(0) = 1$. Уравнение останется неизменным (линейным однородным), но безразмерная переменная $\tilde{X}(t)$ уже будет иметь смысл оставшейся доли от c_0 . Можно оперировать десорбированной долей $Y(t) = 1 - \tilde{X}(t)$ и тогда $\dot{Y}(t) = K(T)(1 - Y(t))$, $Y(0) = 0$. Отметим, что такая простейшая модель, когда строго лимитирует только диффузия, не реагирует на c_0 , но реагирует на геометрический параметр ℓ : $K(T) = K(T; \ell)$.

В нелинейных моделях не будем нормировать на c_0 (в отличие от [1]).

2. Лимитирование десорбцией

При строгом лимитировании десорбцией в объеме практически равномерная концентрация: $c(t, x) \approx c(t) \Rightarrow X(t) \approx c(t)$. Тогда из соображений материального баланса можно записать $\ell \dot{X} = -2b(T)X^2$, $X(0) = c_0$, и считать $b(T)$ эффективным коэффициентом рекомбинации [2].

Для единообразия усредненный поток дегазации считаем в атомах водорода: $1 \text{ Н}/(\text{см}^3 \text{ с})$.

Замечание 2

Это второй рассматриваемый крайний случай, когда диффузия относительно быстрая и строго лимитирует только десорбция. Здесь кинетический коэффициент $K(T) = \frac{2b(T)}{\ell}$. Вместо $D(T)$ естественно появляется $b(T)$ и остается зависимость от ℓ . Если перейти к долям $\tilde{X} = \frac{X}{c_0}$, то $\frac{d\tilde{X}}{dt} = -\tilde{K}(T)\tilde{X}^2$, $\tilde{X}(0) = 1$, $\tilde{K}(T; \ell, c_0) = \frac{2b(T)c_0}{\ell}$. Появляется дополнительная зависимость от начального насыщения. Для металлов и сплавов это нужно учитывать. Тогда можно записать уравнение реакции второго порядка $\frac{d\tilde{X}}{dt} = -\tilde{b}(T)\tilde{X}^2$, интерпретируя $\tilde{b}(T)$ как коэффициент объемной десорбции. Поэтому в качестве переменной оставим усредненную концентрацию $X(t)$, а c_0 оставим в начальных данных: $X(0) = c_0$.

3. Усреднение по процессам диффузии и десорбции

В широком диапазоне условий эксперимента диффузия и десорбция существенно взаимозависимы (динамика процессов на поверхности диктует граничные условия для уравнения диффузии). С учетом $T = T(t) = T_0 + \beta t$, $dT = \beta dt$, $t \leftrightarrow T \in [T_0, T_*]$ можно вместо $X(t)$ записать $X(T) (\approx \bar{c}(T))$ и

$$\frac{dX}{dT} = -\beta^{-1}K(T)X^\alpha(T), \quad X(T_0) = c_0, \quad \alpha \in [1, 2],$$

$$K(T) = K_0 \exp\{-Q[RT]^{-1}\}.$$

Параметр $\alpha \in [1, 2]$ позволяет учитывать степень участия лимитирующих факторов. Применяем усреднение не только по концентрации, но и по процессам диффузии и рекомбинации. Коэффициент $K(T)$ косвенно зависит от α : при $\alpha \sim 1$ ориентируемся на $\pi^2 \ell^{-2} D(T)$, а при $\alpha \sim 2$ — на $2b(T)/\ell$. В [1] аналитически проанализирована эта модель (только там рассматривалась дополнительно нормировка $X \rightarrow X/c_0 \in (0, 1)$, $t > 0$, и $K = K(T)$).

Замечание 3

В работе [3] представлен спектр моделей $\dot{X} = K(T)f(X)$, где $X(t)$ — прореагировавшая фракция (reacted fraction). В сравнении с обозначениями выше в [3] принято $X = 1 - X/c_0$, где справа X — усредненная концентрация по объему. В [4] изучено влияние начального насыщения. Работа [5] содержит подробное описание предложенной модели и обширный список литературы. Отметим также обстоятельный обзор [6].

4. Модель с динамическими граничными условиями

Перейдем к более детализированной модели, явно разделяя объемные и поверхностные процессы (следуя [7]). Краевая задача ТДС дегазации примет следующий вид:

$$\partial_t c(t, x) = D(T)\partial_x^2 c(t, x), \quad t \in (0, t_*), \quad x \in (0, \ell),$$

$$c(0, x) = c_0, \quad x \in [0, \ell], \quad c_{0,\ell}(t) = g(T)q(t),$$

$$\frac{dq}{dt} \equiv \dot{q}(t) = -b(T)b(T)q^2(t) + D(T)\partial_x c(t, 0),$$

$$J(t) = b(T)q^2(t), \quad T(t) = T_0 + \beta t, \quad \beta > 0.$$

Здесь $c(t, x)$ — объемная концентрация ($1 \text{ Н}/\text{см}^3$); $q(t)$ — поверхностная концентрация ($1 \text{ Н}/\text{см}^2$); D, b, g — (аррениусовские по температуре) коэффициенты диффузии, десорбции, быстрого растворения, размерности соответственно $\text{см}^2/\text{с}$, $\text{см}^2/\text{с}$, $1/\text{см}$; $J(t)$ — плотность потока десорбции (атомов, рекомбинировавших в молекулы), $[J] = 1/\text{см}^2 \text{ с}$, 1 обозначает один атом Н. В силу $t \leftrightarrow T$ можно выразить $J = J(T)$. В рамках такой модели график $(T, J(T))$ и составляет ТДС спектр. Десорбция отнесена к единичной (см^2) части двухсторонней поверхности, $q_{0,\ell}(t) = q(t)$. Для упрощения записи $D(t) \equiv D(T(t))$, $g(t) \equiv g(T(t))$, $b(t) \equiv b(T(t))$. В работе [8] реализован трехстадийный эксперимент „прорыв–перетекание–термодесорбция“, что существенно повышает его информативность.

Усложним уравнение диффузии с учетом обратимого захвата в ловушки различных типов (практически равномерно распределенных в объеме):

$$\partial_t c = D\partial_x^2 c - \sum_{v=1}^m [a_v^- [1 - Z_v] c(t, x) - a_v^+ z_v(t, x)],$$

$$\partial_t z_v = a_v^-(T)[1 - Z_v]c(t, x) - a_v^+(T)z_v(t, x),$$

где $z_v(t, x)$ — концентрации $\text{Н}/(\text{см}^3)$, захваченного дефектами (микротрещины, границы зерен...); a_v^\mp — коэффициенты поглощения и выделения Н ; $Z_v \equiv z_v(t, x) / \max z_v$.

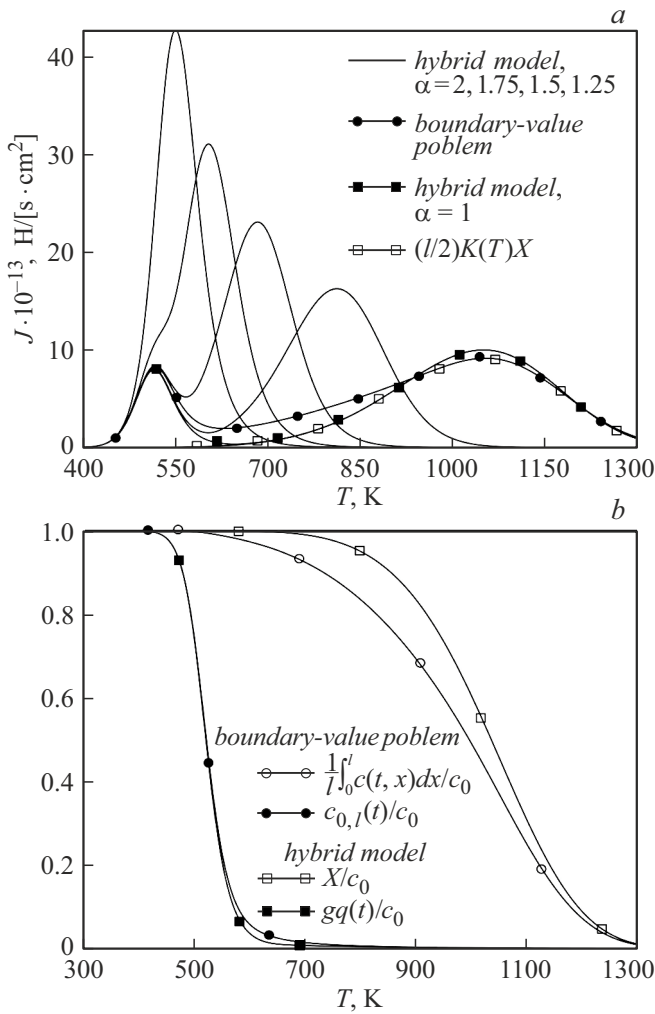


Рис. 1. Сравнение моделей: краевая задача и гибридная модель; a — потоки термодесорбции, b — сравнение относительных концентраций.

5. Гибридная модель термодесорбции

Перейдем к основному содержанию настоящей работы. Поставим задачу объединения рассмотренных двух классов моделей. Чтобы не загромождать выкладки, ограничимся одним типом ловушек (например, границы зерен). Запишем уравнение диффузии в форме $\partial_t c + \partial_t z = D(T) \partial_x^2 c$, $T = T(t)$. Изменение общей концентрации $c + z$ определяется плотностью диффузионного потока $J_d = -D \partial_x c$. Уравнение неразрывности: $\partial_t(c + z) = -\partial_x J_d$. Проинтегрируем уравнение по x :

$$\int_0^\ell \frac{\partial c}{\partial t} dx + \int_0^\ell \frac{\partial z}{\partial t} dx = \frac{d}{dt} \int_0^\ell c(t, x) dx + \frac{d}{dt} \int_0^\ell z(t, x) dx = D(T) \left[\frac{\partial c}{\partial x} \Big|_\ell - \frac{\partial c}{\partial x} \Big|_0 \right].$$

Введем усредненные по объему концентрации $X(t) = \frac{1}{\ell} \int_0^\ell c(t, x) dx$, $Y(t) = \frac{1}{\ell} \int_0^\ell z(t, x) dx$. В силу

симметрии $\partial_x c(t, 0) = -\partial_x c(t, \ell)$ получаем $\dot{X}(t) + \dot{Y}(t) = -2D(T) \frac{\partial c}{\partial x} \Big|_0 \cdot \ell^{-1}$. Подставляем выражение для $D \partial_x c|_0$ в уравнение для поверхностной концентрации:

$$\frac{dq}{dt} \equiv \dot{q}(t) = -b(T)q^2(t) - \frac{\ell}{2} [\dot{X}(t) + \dot{Y}(t)].$$

А для X, Y примем усредненные модели. Для X :

$$\dot{X}(t) = -K(T)X^\alpha(t), \quad X(0) = c_0,$$

$$K(T) \equiv K(T; \ell, \alpha) = K_0 \ell^{\alpha-3} \exp\{-Q/[RT]\}.$$

Проинтегрируем по $x \in [0, \ell]$ уравнение для z :

$$\partial_t z = a^-(T)c(t, x) - a^+(T)z(t, x), \quad z(0, x) = z_0$$

$$\Rightarrow \frac{d}{dt} Y(t) = a^-(T)X(t) - a^+(T)Y(t), \quad Y(0) = z_0.$$

Запишем теперь модель в компактной форме. Динамика концентраций:

$$\begin{cases} \frac{dq}{dt} = -b(T)q^2(t) + \frac{\ell}{2} [K(T)X^\alpha(t) - a^-X + a^+Y], \\ \frac{d}{dt} X(t) = -K(T)X^\alpha(t), \\ \frac{d}{dt} Y(t) = a^-(T)X(t) - a^+(T)Y(t). \end{cases}$$

Начальные данные (при равномерном равновесном начальном насыщении образца):

$$q(0) = q_0, \quad X(0) = c_0, \quad c_0 = g(T_0)q_0,$$

$$Y(0) = z_0, \quad a^-(T_0)c_0 - a^+(T_0)z_0 = 0.$$

Отметим, что начальные значения c_0, q_0, z_0 зависимы. Нас интересует плотность потока десорбции $J(t) = b(T(t))q^2(t)$. В осях (T, J) имеем ТДС спектр (график $J(T), t \leftrightarrow T(t)$).

Имеем систему из трех ОДУ. Но на самом деле она численно интегрируется последовательно. Сначала вычисляем $X(t)$ по второму уравнению. Подставляя в третье, получаем линейное ОДУ для $Y(t)$. При известных $X(t), Y(t)$ остается численно проинтегрировать первое уравнение для $q(t)$.

6. Результаты численного моделирования

Ориентируемся на данные по вольфраму [9]. Оценки параметров существенно зависят от условий эксперимента и подготовки образцов, так что значения воспринимаем как модельные (по порядку). Принятые значения параметров модели: $b_0 = 3.2 \cdot 10^{-7} \text{ cm}^2/\text{s}$, $[E] = \text{kJ/mol}$, $E_b = 100$, $D_0 = 4.1 \cdot 10^{-3} \text{ cm}^2/\text{s}$, $E_D = 62$, $g_0 = 200 \text{ cm}^{-1}$, $E_g = 0$, $c_0 = 6.567 \cdot 10^{17} \text{ cm}^{-3}$, $\ell = 0.05 \text{ cm}$, $T_0 = 300 \text{ K}$, $\dot{T} = \beta = 2 \text{ K/s}$.

На рис. 1 представлены спектры и концентрации с применением модели в форме краевой задачи и гибридной модели. Получены двухпиковые кривые, пики

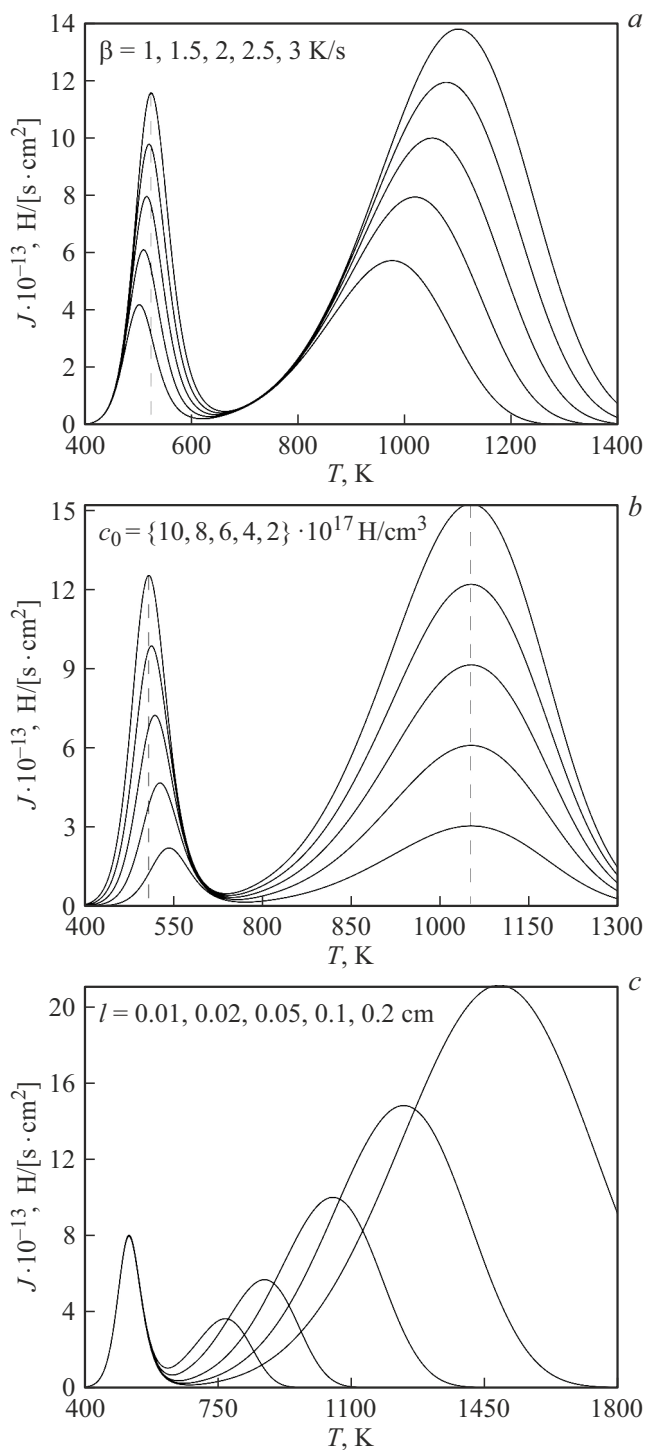


Рис. 2. Гибридная модель. Чувствительность спектров к вариации параметров.

сравнительно изолированы. С ростом порядка реакции $\alpha = 2$ высокотемпературный пик сдвигается в сторону низкотемпературного. При $\alpha = 2$ имеем спектр с одним пиком. Далее на рисунках $\alpha = 1$. На рис. 2 проиллюстрировано влияние параметров, которые может варьировать экспериментатор. На рис. 3 представлены численные спектры при учете различных дефектов. Кривые

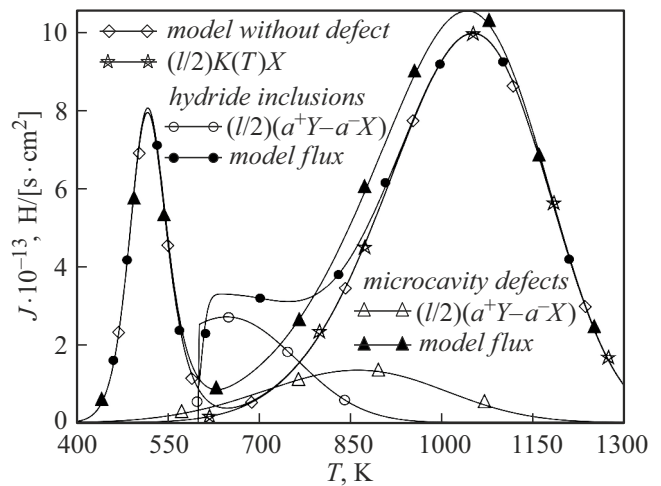


Рис. 3. Гибридная модель. Влияние дефектов.

с учетом дефектов „типа микрополость“ ($a^- = 10^{-5}$, $E_{a^-} = 10$, $a^+ = 1.5$, $E_{a^+} = 35$, $z_{\max} = 10^{17} \text{ cm}^{-3}$). Начальная концентрация в дефектах определяется из условий равновесия. Здесь же на рис. 3 иллюстрируется влияние дефектов „типа включения гидроксида“. Разложение гидроксида начинается при $T = 600 \text{ K}$, $a^+ = 1.5$, $E_{a^+} = 25$, $z_0 = 10^{17} \text{ cm}^{-3}$.

Общий вывод по результатам численного моделирования состоит в следующем. Гибридная модель показала адекватную физическим представлениям состоятельность как на качественном, так и на количественном уровнях. Можно оценивать степень влияния („производные“) на поток дегазации вариаций параметров модели и условий эксперимента. Если необходимо выявить качественные различия на уровне „захват в объеме или динамика с учетом поверхности“, то наиболее информативны эксперименты с образцами разной толщины (рис. 2, c).

Финансирование работы

Финансирование исследований осуществлялось из средств федерального бюджета на выполнение государственного задания КарНЦ РАН (Институт прикладных математических исследований).

Конфликт интересов

Авторы заявляют, что у них нет конфликта интересов.

Список литературы

- [1] Ю.В. Заика, Е.К. Костинова, Ю.С. Нечаев. ЖТФ, **91** (2), 222 (2021). DOI: 10.21883/JTF.2021.02.50355.208-20 [Y.V. Zaika, E.K. Kostikova, Y.S. Nechaev. Tech. Phys., **66** (2), 210 (2021). <https://doi.org/10.1134/S1063784221020250>]
- [2] А.А. Писарев, И.В. Цветков, Е.Д. Маренков, С.С. Ярko. Проницаемость водорода через металлы (МИФИ, М., 2008), 144 с.

- [3] M. Lototsky, R. Denys, S.N. Nyamsi, I. Bessarabskaia, V. Yartys. *Materials Today: Proceed.*, **5**, 10440–49 (2018).
- [4] A. Díaz, I.I. Cuesta, E.M. Martínez-Pañeda, J.M. Alegre Calderon. *Int. J. Hydrogen Energy*, **45** (43), 23704–20 (2020).
- [5] V. Polyanskiy, D. Arseniev, A. Chevrychkina, Yu. Yakovlev. Part Advanced Structured Materials book series (STRUCTMAT, **196**). *Progress in Continuum Mechanics*. 377–410. https://doi.org/10.1007/978-3-031-43736-6_22
- [6] A. Lider, V. Kudiiarov, N. Kurdyumov, J. Lyu, M. Koptsev, N. Travitzky, D. Hotza. *Int. J. Hydrogen Energy*, **48**, 28390–411 (2023).
- [7] *Взаимодействие водорода с металлами*, ред. А.П. Захаров (Наука, М.,1987), 296 с.
- [8] Yu.V. Zaika, N.I. Sidorov, O.V. Fomkina. *Int. J. Hydrogen Energy*, **45**, 7433–43 (2020).
- [9] *Изотопы водорода. Фундаментальные и прикладные исследования*, ред. А.А. Юхимчук (РФЯЦ-ВНИИЭФ, Саров, 2009), 697 с.